

## ماگما تیسم کرتاسه زیرین در منطقه آبگرم قزوین

صدرالدین امینی: دانشگاه تربیت معلم  
سعید تاکی: دانشگاه آزاد اسلامی واحد لاهیجان

### چکیده

قریه آبگرم در ۸۵ کیلومتری جنوب غربی قزوین واقع شده و ناحیه بررسی شده در حوالی آن قرار دارد. از لحاظ جغرافیایی این ناحیه ادامه کوههای سلطانیه در چهارگوش زمین شناسی کبودرآهنگ به حساب می‌آید. سنگهای آذرین کرتاسه زیرین در این منطقه شامل بازالت اسپلیتی، آلکالی الیوین بازالت، بازالت، موژه آریت و تراکی بازالت است که به صورت گذاره و توف دیده می‌شوند و نفوذی‌های داخل آن‌ها بیشتر شامل میکروگابرو، پیروکسن هورنبلند گابرو و ملاگابرو است. سنگهای آذرین مذکور جزء سری آلکالن هستند. انطباق‌های خوب و روندهای پیوسته اکسید عناصر اصلی در مقابل سبلیس در نمودارهای تغییرات شیمیابی، قرابیت زنتیکی بین رخسارهای مختلف آن را تأیید می‌کند. مقایسه داده‌های ژئوشیمیایی و پتروگرافی این سنگ‌ها نشان می‌دهد که جدا شدن الیوین، پیروکسن و مگنتیت سبب تغییر ماگمای مادر و باعث ایجاد ترمehای مختلف از آن گردیده است. با توجه به وفور ریفت‌های قاره‌ای در مرزبین خرده قاره‌ها در ایران در زمان کرتاسه زیرین ماگماهای آلکالن کرتاسه زیرین منطقه آبگرم نیز می‌تواند متعلق به این ریفت‌ها یا پشت قوس حاصل از فرورانش پوسته اقیانوسی مابین خرده قاره‌ها باشد، با وجود این برای تشخیص سرگذشت دقیق منطقه آبگرم در این زمان به داده‌های بیشتری نیاز داریم.

### مقدمه

نام منطقه بررسی شده از قریه آبگرم واقع در ۸۵ کیلومتری جنوب غربی قزوین گرفته شده است. این منطقه در محدوده بین طولهای جغرافیایی  $۵۰^{\circ}۴۸'۱۰''$  و  $۵۵^{\circ}۳۵'۰۰''$  شرقی و عرضهای  $۳۶^{\circ}۰۰'۰۰''$  و  $۳۷^{\circ}۳۰'۰۰''$  شمالی واقع است (شکل ۱) و جزء چهارگوش زمین‌شناسی کبودرآهنگ است. از لحاظ ژئومورفولوژی در چهارگوش کبودرآهنگ یک سری رشته کوههای موازی با روند شمال‌غرب - جنوب‌شرق وجود دارد که به وسیله فرورفتگی‌هایی از هم جدا می‌شوند، شمال‌شرقی‌ترین این رشته کوهها رشته کوه آبگرم است که در حقیقت ادامه جنوب‌شرقی کوههای سلطانیه است.

ناحیه کبودرآهنگ هم از لحاظ چینه‌شناسی و هم ساختمانی به دو منطقه مجزا قابل تقسیم است: (الف) منطقه آبگرم در شمال‌شرق، (ب) منطقه رزن در جنوب.

**واژه‌های کلیدی:** آبگرم، آلکالی الیوین بازالت، سری آلکالن، کرتاسه زیرین

حدود این منطقه‌ها با گسل آوج که روندی شمال‌غرب - جنوب‌شرق دارد منطبق است [۲]. منطقه آبگرم بخشی از زون ایران مرکزی بوده و در کمربند آتشفشاری ارومیه دختر واقع می‌شود. توالی سنگ‌های رسوبی در این منطقه ضخامتی در حدود ۱۰۰۰ متر دارد [۲] و سن آن‌ها از پرکامبرین تا عهد حاضر است ولی سنگ‌های آذرین در این منطقه مشتمل بر سه سن جدگانه هستند:

(الف) ژوراسیک، که در حقیقت بخشی از سازند لار است

(ب) کرتاسه زیرین، که گسترش آن از سنگ‌های آذرین ژوراسیک بسیار بیشتر بوده و اکثراً در کنار گسل حسن آباد قرار دارند، بنابراین به احتمال زیاد گسل حسن آباد در ظهور این سنگ‌ها نقش داشته است

(ج) ائوسن میانی، که بیشترین رخمنون را داشته و شامل یک سری سنگ‌های آذر آواری و آذرین است و معادل سازند کرج به شمار می‌رود.

## روش تحقیق

روش پژوهش بر مبنای انجام عملیات و مطالعات:

(الف) صحرایی، نمونه برداری طبق روش‌های مرسوم بین‌المللی و در ضمن بررسی ارتباط سنگ‌های آذرین مورد نظر با سنگ‌های رسوبی مجاور به منظور تعیین سن نسبی

(ب) آزمایشگاهی، تهیه مقاطع نازک میکروسکوپی و بررسی پتروگرافی آنها اعم از تشخیص کانی‌ها (با استفاده از خواص اپتیکی و انداز مکیری خصوصیاتی مثل زاویه خاموشی و تعیین زاویه محور‌های نوری توسط میز فدروف)، شناسایی بافت سنگ و تشخیص اسم آنها و همچنین جدا سازی سالمترین نمونه‌ها برای آنالیز شیمیایی به روش مرطوب و نیز تجزیه XRD توسط شرکت تحقیقاتی کانپژوه

(ج) کتابخانه‌ای، استفاده از مطالعات موجود در ارتباط با موضوع و همچنین منطقه مورد مطالعه، بوده است.

## طبقه‌بندی سنگ‌های آذرین منطقه

به منظور انجام بررسی‌های ژئوشیمیایی و استفاده از طبقه‌بندی‌های مختلف تعداد ۱۲ نمونه از سنگ‌های آذرین کرتاسه زیرین منطقه تجزیه شیمیایی (به روش مرطوب) شدند (جدول ۱) در مورد سنگ‌های آذرین درونی روش لومتر با استفاده از مثلاً دوگانه QAPF (که نوعی طبقه‌بندی کانی‌شناسی است) نامگذاری انجام گردید. طبق این روش ابتدا مقادیر درصد حجمی کانی‌ها با استفاده از دستگاه شمارنده نقاط<sup>۱</sup> به دست آمد (جدول ۳) (سپس با محاسبه قطب‌های Q, A, P مشخص گردید که همه نمونه‌ها روی قطب P واقع می‌شوند)

<sup>۱</sup>-Point counter

بنابراین طبق توصیه‌های IUGS سنگ‌های گابرویی باید براساس محتوای پلازیوکلаз، پیروکسن، الیوین و هورنبلد (مطابق شکل ۲) اسم گذاری شوند.

در مورد سنگ‌های آذرین خروجی مقبول‌ترین طبقه‌بندی استقاده از یک سیستم طبقه‌بندی شیمیایی است که به آن معیارهای بافتی و ساختی هم اضافه شده باشند. طبقه‌بندی‌هایی به کار رفته برای سنگ‌های آذرین بیرونی منطقه شامل طبقه‌بندی‌های شیمیایی لوباس و همکاران (۱۹۸۶) به نقل از لومتر (۱۹۸۹) (شکل ۳)، کاکس و همکاران (۱۹۷۹) با اقتباس از ویلسون (۱۹۹۷) (شکل ۴) است. تقسیم بندی بازالت‌های منطقه نیز با نمودار میدل موست (۱۹۷۵) صورت پذیرفت (شکل ۵)، طبق این نمودار تمام بازالت‌های منطقه از نوع آلکالن هستند (غیراز دو نمونه  $I_6$  و  $H_4$  که بازالت تحولی<sup>۱</sup> هستند زیرا که در یکی از نمودارها در محدوده آلکالی و در نمودار دیگر در محدوده ساب آلکالی قرار می‌گیرند).

**جدول ۱- نتایج تجزیه شیمیابی عذاقر اصلی برای سنگ‌های آذرین کفرتاسمه زیرین در منطقه آبرکرم که به روش مرتضوب (نموده‌های سمتاردار متعلق به سنگ‌های نفوذی هستند)**

نوعیه نمودار گردشگری کمپین	SiO <sub>2</sub>	Al <sub>2</sub> O <sub>3</sub>	Fe <sub>2</sub> O <sub>3</sub>	FeO	TiO <sub>2</sub>	CaO	MgO	Na <sub>2</sub> O	K <sub>2</sub> O	L.O.I	P <sub>2</sub> O <sub>5</sub>	MnO	Sum
H <sub>4</sub>	45/55	17/55	7/18	6/13	1/21	9/88	14/86	7/14	1/01	0/11	0/11	0/11	99/11
H <sub>6</sub>	49/51	19/78	9/15	7/53	1/76	1/18	5/16	2/14	1/91	0/81	0/12	0/12	99/11
H <sub>7</sub>	51/51	14/88	8/18	1/85	1/85	9/17	1/14	1/01	1/11	0/11	0/11	0/11	99/11
I <sub>5</sub>	49/18	15/22	9/13	7/53	1/19	6/82	6/11	1/14	1/14	0/11	0/11	0/11	99/11
I <sub>6</sub>	49/51	13/44	5/14	7/41	1/11	1/11	1/11	1/11	0/11	0/11	0/11	0/11	99/11
I <sub>9</sub>	40/45	13/55	7/19	7/49	1/14	9/81	1/11	1/11	1/11	0/11	0/11	0/11	99/11
I <sub>12</sub>	51/11	19/41	7/19	7/19	0/10	6/13	7/12	7/12	7/12	0/11	0/11	0/11	99/11
I <sub>15</sub> *	44/11	16/18	6/28	5/53	1/19	17/14	6/13	1/18	1/18	0/11	0/11	0/11	99/11
I <sub>3</sub>	49/51	17/14	6/19	5/17	1/19	6/82	5/13	1/14	1/14	0/11	0/11	0/11	99/11
I <sub>18</sub>	51/51	19/51	7/15	7/18	0/11	9/14	9/11	9/14	9/14	0/11	0/11	0/11	100/11
I <sub>6</sub> *	44/11	17/49	6/16	6/66	1/14	1/19	1/18	1/18	1/18	0/11	0/11	0/11	99/11
I <sub>4</sub> *	45/11	17/49	7/15	6/15	1/12	1/14	8/15	0/10	1/14	0/11	0/11	0/11	100/11

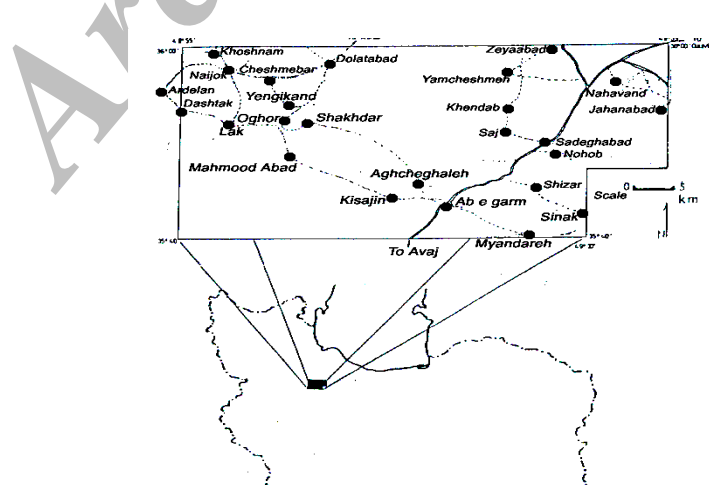
### $\gamma$ -transitional basalt

جدول ۲ - محاسبه نورم بعد از اعمال تصحیحات مربوطه در مورد داده‌های موجود در جدول ۱

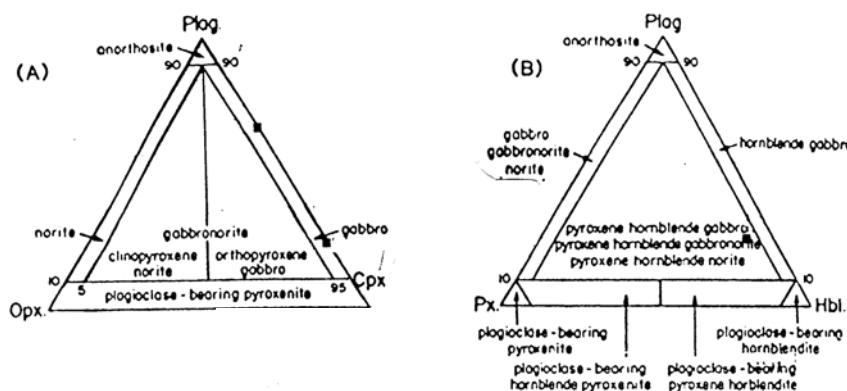
کانیهای نورم	Or	Ab	An	Le	Ne	Di	Hyp	Ol	Mt	Ilm	Ap	%An
شماره نمونه												
<b>H<sub>4</sub></b>	۳/۲۰	۱۸/۷۸	۲۰/۱۲	-	۷/۶۲	۲۰/۵۸	-	۲۴/۸۹	۴/۲۹	۲/۷۷	۰/۷۲	۵۲
<b>H<sub>6</sub></b>	۹/۰۱	۱۹/۴۸	۲۰/۸۷	-	۶/۱۳	۲۱/۵۰	-	۹/۷	۴/۵۷	۳/۱۳	۱/۳۲	۵۲
<b>H<sub>7</sub></b>	۱/۱۸	۵۰/۲۴	۱/۵۴	-	۱۱/۷۹	۲۲/۰۱	-	۴/۰۴	۳/۱۵	۱/۲۷	۰/۸۱	۳
<b>I<sub>5</sub></b>	۱۲/۰۶	۱۸/۹۸	۴/۲۵	-	۱۶/۵۴	۲۳/۹۰	-	۷/۱۸	۴/۵	۲/۴۵	۱/۴۸	۳۳
<b>I<sub>6</sub></b>	۴/۲۶	۱۹/۲۳	۱۳/۹۰	-	۱۱/۴۰	۲۹/۲۷	-	۱۰/۸۱	۳/۴۹	۱/۷۳	۱/۲۳	۴۲
<b>I<sub>9</sub></b>	۴/۹۶	۲۱/۵۸	۲۳/۰۲	-	-	۱۶/۰۲	۲/۷۲	۱۸/۴۶	۴/۴۶	۳/۵۵	۱/۷۶	۵۲
<b>I<sub>12</sub></b>	۲۲/۱۹	۲۸/۶۴	۱۷/۶۴	-	۴/۰۴	۹/۴۶	-	۱۱/۲۳	۳/۲۳	۱/۴۲	۰/۹	۳۸
<b>I<sub>15</sub>*</b>	۸/۹۸	۶/۹۱	۳۰/۴۷	-	۴/۷۶	۲۸/۵۶	-	۱۱/۰	۳/۵۷	۱/۸۲	۰/۳۷	۸۲
<b>h<sub>3</sub></b>	۸/۱۶	۲۵/۴۱	۲۲/۵۸	-	۲/۶۹	۱۱/۸۸	-	۱۱/۹۸	۵/۲۱	۳/۹۷	۰/۹	۵۱
<b>I<sub>18</sub></b>	۲۲/۳۶	۳۲/۵۱	۱۱/۹۸	-	۲/۷۴	۷/۵۷	-	۹/۸	۳/۲	۱/۳۵	۰/۷۶	۲۷
<b>h<sub>6</sub>*</b>	۳/۱۹	۱۸/۰۸	۱۷/۴۸	-	۵/۴۷	۲۲/۵۷	-	۱۹/۲۴	۶/۰۹	۵/۱۳	۱/۴۸	۴۹
<b>h<sub>4</sub>*</b>	-	-	۲۴/۸۷	۷/۰۰	۴/۳۵	۴۹/۶۱	-	۴/۱۷	۳/۸	۲/۱۳	۰/۶۳	۱۰۰

جدول ۳ - مقدار درصد حجمی کانی‌ها با استفاده از دستگاه شمارنده نقاط

کانیها	Plag	Cpx	Ol	Hb	Biot	Op	Chl	Ap	درصد آنورتیت در پلاژیوکلاز
شماره نمونه									
<b>I<sub>15</sub></b>	۵۹/۵۹	۳۱/۲۸	-	-	۳/۲۸	۴/۹۸	-	۰/۸۵	۵۹
<b>h<sub>6</sub></b>	۲۵/۹۹	۷/۴۱	۴/۰۱	۵۶/۰۲	-	۶/۵۶	-	-	۵۲
<b>h<sub>4</sub></b>	۲۴/۵۹	۷۲/۹۵	-	-	-	۲/۴۶	-	-	۹
<b>I<sub>9</sub></b>	۴۳/۲۵	۲۸/۱۳	۱۲/۴۵	-	-	۴/۷۲	۱۰/۹۵	-	۶۰

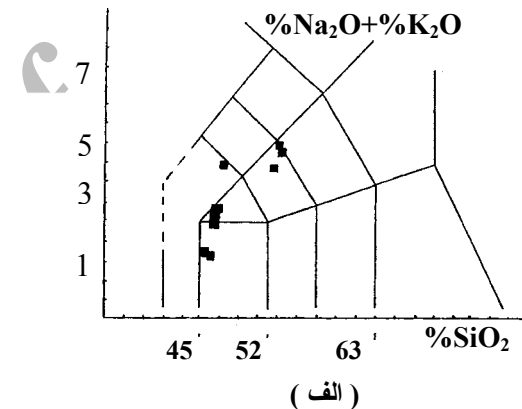


شکل ۱) موقعیت منطقه بررسی شده در نقشه ایران و راههای ارتباطی



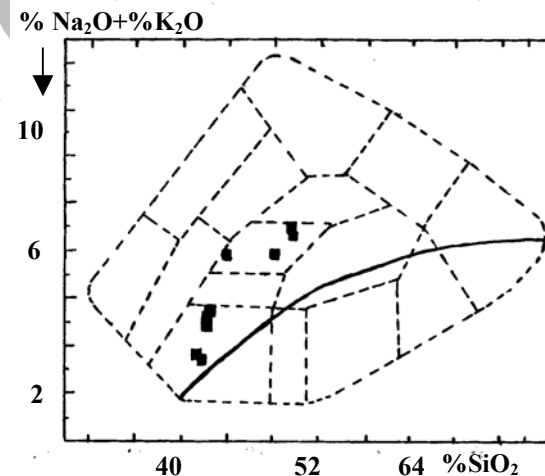
شکل ۲ - طبقه‌بندی سنگ‌های پلوتونیک منطقه طبق پیشنهادات IUGS با اقتباس از Le Maitre ۱۹۸۹. تمام نمونه‌ها روی مثلث دوگانه QAPF روى قطب P واقع می‌شوند (یعنی همگی گابری هستند) به همین سبب برای تقسیم‌بندی آن‌ها از نمودارهای مریبوط به تقسیم‌بندی گابری‌ها استفاده شد

	$\geq \text{K}_2\text{O}$ $\text{Na}_2\text{O}-2$	$\leq \text{K}_2\text{O}$ $\text{Na}_2\text{O}-2$
Trachybasalt	Hawaiite	Potassic trachybasalt
Basaltic trachyandesite	Mugearite	Shoshonite
Trachyandesite	Benmoreite	Latite

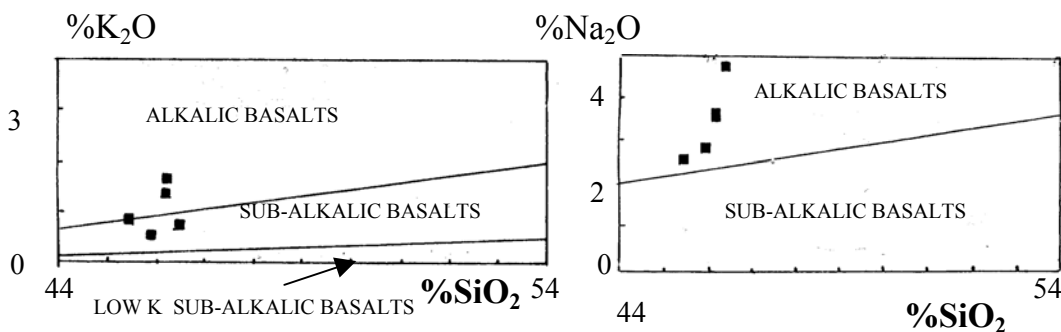


شکل ۳ - الف) دیاگرام TAS برای طبقه‌بندی سنگ‌های ولکانیک (طبق توصیه‌های IUGS ۱۹۸۹ به نقل از لومتر ۱۹۸۶) بر اساس لوپاس و دیگران ۱۹۸۶ (ب) زیر تقسیمات بعدی تراکی بازالت و تراکی آندزیت

(لومتر ۱۹۸۹ با اقتباس از شلی ۱۹۹۱)



شکل ۴) نامگذاری سنگ‌های آذرین عادی (غیرپتانسیک) (کاکس و همکاران ۱۹۷۹ با اقتباس از ویلسون ۱۹۹۷) و موقعیت سنگ‌های ولکانیک کرتاسه زیرین منطقه آبگرم

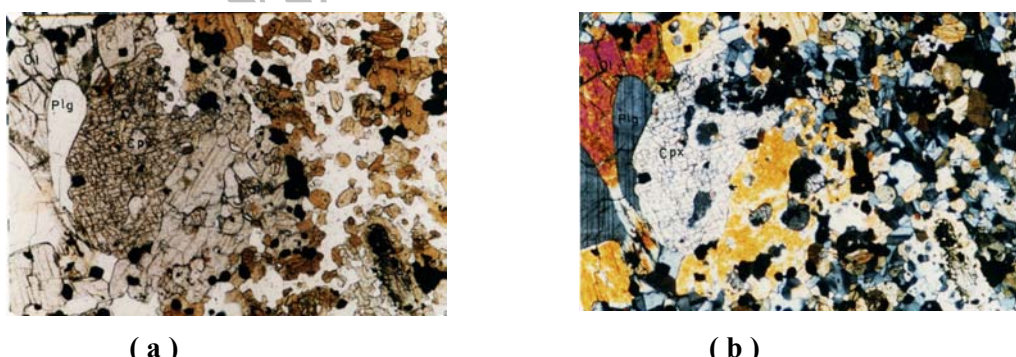


شکل ۵- طبقه‌بندی بازالت‌های آلkalیک و ساب آلkalیک (نقل از میدل موست ۱۹۷۵، اقتباس از ویلسون ۱۹۹۷)

### پتروگرافی

سنگ‌های آذرین کرتاسه زیرین در منطقه آبگرم غالباً خروجی‌هایی هستند که در بعضی مکان‌ها با سنگ‌های هیپ آبیسال همراهند. سنگ‌های هیپ آبیسال شامل نرم‌های زیر است:

**پیروکسن هورنبلند میکروگابرو:** کانی‌های اصلی این سنگ شامل هورنبلند قهوه‌ای (به مقدار زیاد که بعضاً تا حدود ۵۸ درصد حجمی سنگ نیز می‌رسد، با زاویه خاموشی ماکزیمم  $24^\circ$  و رنگ اینترفرانس حداقل سبز نظام دوم)، پلاژیوکلاز (با زاویه خاموشی ماکزیمم  $29^\circ$  با ترکیب لابرادر  $\text{An}_{52}$ )، کلینوپیروکسن (حداقل زاویه خاموشی  $30^\circ$  و از لحاظ حجمی نسبت به هورنبلندها درشت‌تر) و کانی‌های فرعی شامل کانی‌های اپاک (از جنس مگنتیت که غالباً ریزند و بعضاً به صورت ادخال در پیروکسن وجود دارند) و همچنین الیوین. بافت سنگ از نوع دانه‌ای<sup>۱</sup> (شکل ۶ «a» و «b»).



شکل ۶ (a) پیروکسن هورنبلند میکروگابرو . حاوی هورنبلند قهوه‌ای (Hb)، پلاژیوکلاز (Plg)، کلینوپیروکسن (Cpx)، الیوین (Ol) و اپاک (بزرگنمایی  $25 \times$ ) (b)

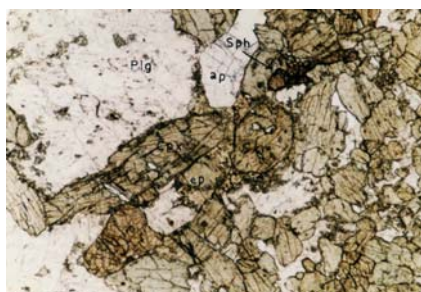
<sup>۱</sup>-anhedral granular

**میکروملا گابرو:** کانی‌ها شامل کلینوپیروکسن (با زاویه خاموشی ماکزیمم  $n\gamma^z = 40^\circ$ ، دو محوره منفی و  $V_\gamma = 56^\circ$  و از لحاظ حجمی زیاد به طوری که حدود ۷۳ درصد سنگ را تشکیل می‌دهند و غالباً سالم هستند) پلازیوکلاز (که به مقدار زیاد سریسیتی شده و در حقیقت پرکننده فضای بین پیروکسن‌ها هستند و برخلاف پیروکسن‌ها که غالباً شکل‌دار تا نیمه شکل‌دار هستند، بیشکل هستند)، کانی‌های اپاک و بافت سنگ نیز میکروگرانولارند (شکل ۷).

این سنگ را دایک‌هایی از جنس گابرو قطع کرده است (شکل ۷) و دایک‌ها را نیز رگه‌های اپیدوتی قطع کرده‌اند (تأثیر فاز‌های تأخیری هیدروترمال).



a



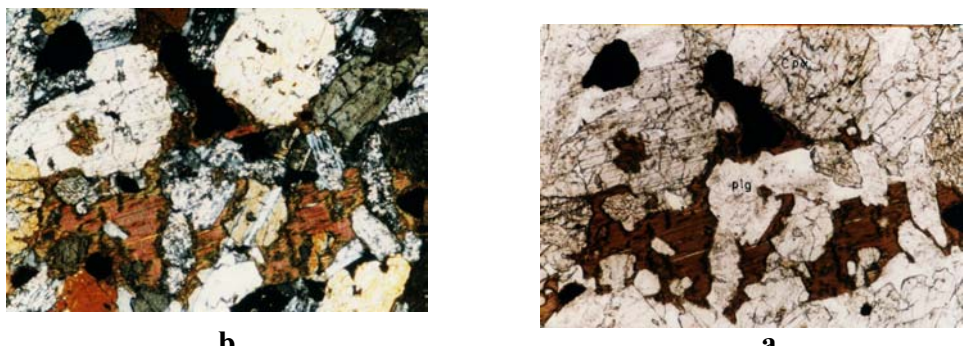
c



b

شکل ۷- a- قطع شدگی میکروملا گابرو توسط دایک . b و c - تصویر میکروسکوپی از کنتاکت این دو سنگ در حالات به ترتیب ppl و xpl (بزرگنمایی  $\times 25$ ). پلازیوکلاز : Ppl ، کلینوپیروکسن : Cpx ، اپیدوت : ep ، اسفن ، آپاتیت : Ap ، Sph :

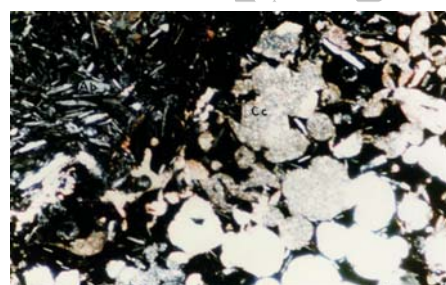
**گابرو:** کانی‌های تشکیل دهنده عبارتند از: پلازیوکلاز (با ترکیب لابرادوریت  $An_{56}$  و غالباً سریسیتی با درصد حجمی حدود ۶۰٪)، کلینوپیروکسن (زاویه خاموشی ماکزیمم  $n\gamma^z = 40^\circ$ ، دو محوره مثبت و  $V_\gamma = 60^\circ$  با درصد حجمی حدود ۳۲٪)، بیونیت (درصد حجمی حدود ۳٪، پرکننده فضای بین پیروکسن و پلازیوکلاز و گاهی نیز در برگیرنده آن‌ها)، کانی‌های اپاک (حدود ۵٪) (شکل ۸).



شکل ۸- محاصره پلازیوکلاز، کلینوپیروکسن و اپاک به وسیله بیوتیت درگابرو (بزرگنمایی  $\times 25$ ) (a) (b)

سنگ‌های خروجی که از لحاظ حجمی نسبت به انواع ساب ولکانیک بیشتر هستند، غالباً گدازه و گاهی نیز به صورت آذرآواری‌اند. ترم‌های مختلف به شرح ذیل است:

**بازالت‌های اسپیلیتی:** بخشی از گدازه‌های این منطقه را بازالت‌های اسپیلیتی حفره‌دار تشکیل می‌دهند. حفره‌ها با کلسیت پرشده‌اند. پلازیوکلازها در سنگ آلبیتی شده و زمینه سنگ را غالباً اکسید‌آهن تشکیل می‌دهد (شکل ۹).



شکل ۹ - بازالت‌های اسپیلیتی حاوی آلبیت (Ab) با زمینه متتشکل از اکسید آهن (سیاهرنگ) و حفره‌های پرشده از کلسیت (cc) (بزرگنمایی  $\times 25$ )

**آلکالی الیوین بازالت:** کانی‌ها شامل الیوین (به صورت فنوكریستال و غالباً دارای خلیج خورده‌گی<sup>۱</sup>، دو محوره منفی و  $92^\circ = 2V\gamma$  با ترکیب کریزولیت ( $FO_{85}$ )، کلینوپیروکسن (به صورت میکروکریستال)، پلازیوکلاز (به صورت توفال Lath و با زاویه خاموشی  $36^\circ$  با ترکیب لابرادوریت  $An_{64}$ ) و کانی‌های اپاک. بافت سنگ پورفیری میکرولیتی و تراکتی از نوع پبلوتاکسیتیک (شکل ۱۰).

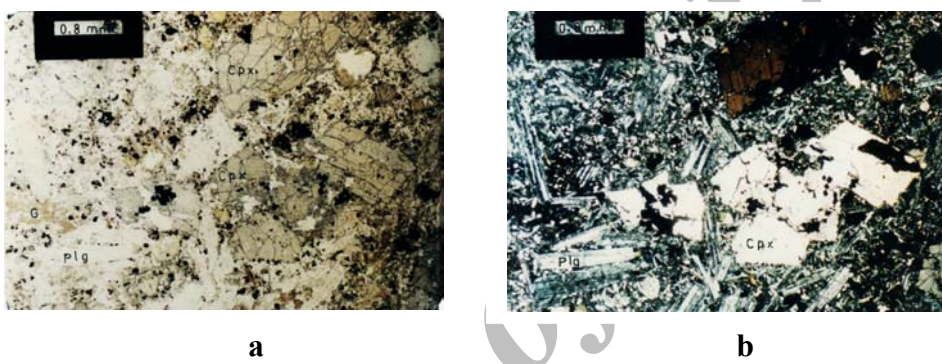


شکل ۱۰ - آلکالی الیوین بازالت با فنوكریستال‌های الیوین و اپاک در زمینه میکروکریستال‌های کلینوپیروکسن پلازیوکلاز و کانی‌های اپاک (xpl)، بزرگنمایی  $\times 25$

<sup>۱</sup>-Corrosion Gulf

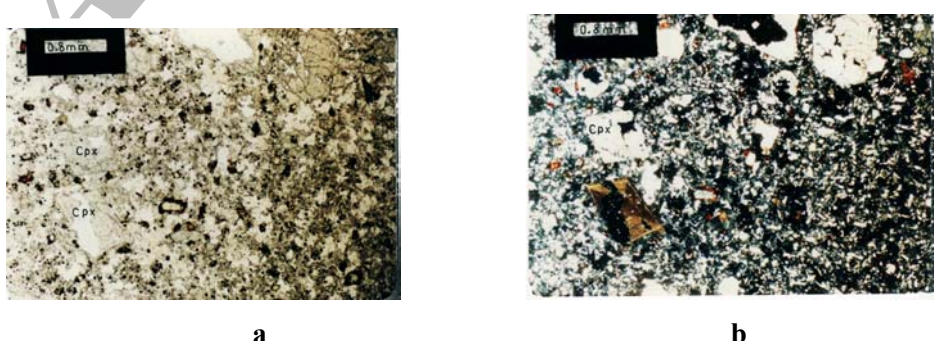
**بازالت:** گذارهای بازالتی فر او انترین سنگ آتشفسانی کرتاسه زیرین در این منطقه هستند و از لحاظ پتروگرافی خصوصیات مختلفی را نشان می‌دهند. سه نمونه مجزای آن در ذیل آورده شده است:

نمونه H<sub>6</sub>: این نمونه از شمال غرب برداشته شد، از لحاظ میکروسکوپی الیوین‌ها مقدارشان کم (حدود ۳% تا ۵%) و تماماً کلریتیز هاند. کلینوپیروکسن‌ها همه سالم، به صورت فنوکریستال، اتومورف، غالباً دارای ماکل (ساعت شنی و پلی‌ستنتیک) و زاویه محورهای نوری آن‌ها  $27^\circ = 2V\gamma$  است. علاوه بر آن، پلاژیوکلاز به صورت فنوکریستال هم وجود دارد که مقدارش تا ۴۵% هم می‌رسد و با توجه به زاویه خاموشی حدود  $32^\circ$  ترکیب آن‌ها لابرادوریت (An<sub>57</sub>) است. بافت سنگ پورفیری و گاهی اینترسراحت تا اینترگرانولار است (شکل ۱۱).



شکل ۱۱- بازالت حاوی کلینوپیروکسن‌های اتومورف با ماکل ساعت شنی (بالا سمت راست) (Cpx)، پلاژیوکلاز (xpl)، اپاک، کلریت (Cl) (ب) و شیشه (G) (پلی‌پلین) (ppl) (a). (۲۰x)

نمونه I<sub>6</sub>: در شمال دهکده نایجوک بازالت‌هایی وجود دارند که حدود ۵۰-۵۵ درصد از حجم آنها را کلینوپیروکسن تشکیل می‌دهد، حداقل زاویه خاموشی کلینوپیروکسن‌ها  $37^\circ = 2V\gamma$  بوده و  $56^\circ = 2V\gamma$  دارند، زمینه سنگ شیشه بوده و در داخل آن مقادیر جزیی از میکرولیت پلاژیوکلاز وجود دارد. علاوه بر این، پزدومورف‌هایی از کانی‌هایی که تماماً توسط اکسیدآهن و کلریت جانشین شده‌اند نیز در سنگ وجود دارد. بافت سنگ سری‌ایت<sup>۱</sup> است (شکل ۱۲).



شکل ۱۲- بازالت غنی از کلینوپیروکسن (Cpx)، (بزرگنمایی ۱۲x)

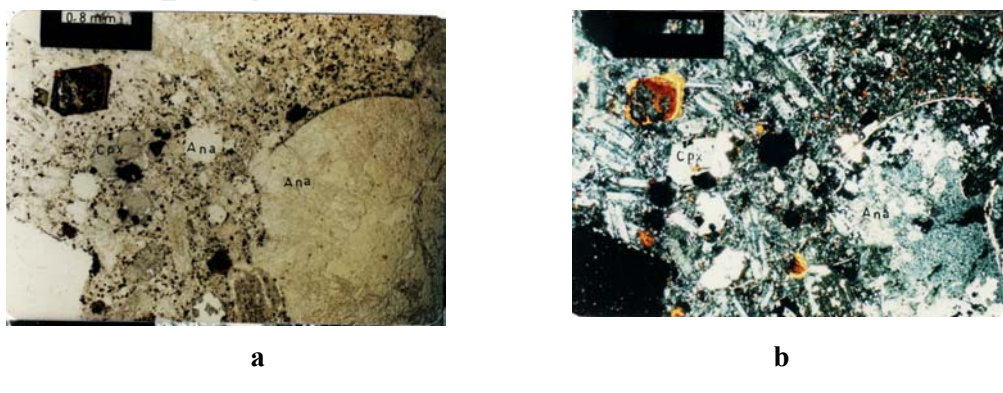
<sup>۱</sup>-Seriate

**نمونه h3 :** قسمت اعظم این سنگ از توفال‌های پلازیوکلاز تشکیل شده که در متی متشکل از کانی‌های کریپتوکریستالین، اپاک(مگنتیت) و سریسیت قرار دارند، پلازیوکلاز‌ها زاویه خاموشی برابر با  $33^{\circ}$  دارند و جنس آن‌ها لابرادوریت ( $An_{59}$ ) است. بافت سنگ پیلوتاکسیتی است (شکل ۱۳).



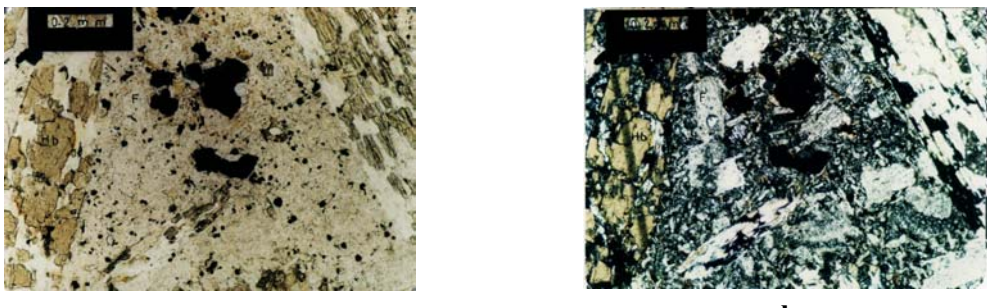
شکل ۱۳ - بازالت تا حدی دگرسان شده با بافت پیلوتاکسیتی (بزرگنمایی  $\times 50$ ). (xpl).

**موژه آریت:** بافت سنگ پورفیری و کانی‌ها شامل، الف) فنوکریستال‌های: پلازیوکلاز (از جنس لابرادوریت  $An_{54}$  و به مقدار زیاد، حدود ۴۰% حجم سنگ)، کلینوپیروکسن (حدود ۱۵% و غالباً بسیار درشت به طوری که طولشان به یک سانتیمتر هم می‌رسد و همچنین اکثراً دارای ماکل از نوع دوتایی، پلی‌سننتیک، ساعت‌شنبی و نیز منطقه‌ای)، آنالسیم که به دو صورت در سنگ دیده می‌شود، گرد و سوزنی. نوع گرد آن احتمالاً در آب جوی غیرماگمایی جانشین لوسيت شده است(کلیتون، کارلسون، ۱۹۹۱)<sup>۱</sup>، اپاک(از نوع مگنتیت، پیریت و ایلمونوتویل) و آمفیبول اپاسیتی شده . ب ) زمینه سنگ: متشکل از شیشه، میکرولیت‌های ریز پلازیوکلاز و سانیدین حرارت بالا ( این ترکیب کانی شناسی توسط آنالیز XRD هم تأیید شده است ) (شکل ۱۴).



شکل ۱۴ - تصویر میکروسکوپی موژه آریت. وجود دو نوع آنالسیم (A na) سوزنی (داخل حفره سمت راست) و گرد در عکس نمایان است (بزرگنمایی  $\times 12$ ). (XPL (b) PPL (a)).

<sup>۱</sup>-Clayton, Karlson 1991



شکل ۱-۵- تراکی بازالت آمفیبول دار. کانی های کشیده سمت راست و چپ عکس آمفیبول از نوع هورنبلند سبز (Hb) بوده و کانی های بین آن ها فلدسپات (F) و اپاک است (بزرگنمایی  $\times 50$ ). (a) PPL (b) XPL

**تراکی بازالت:** اسیدی ترین سنگ های آذرین کرتاسه زیرین در این منطقه تراکی بازالت است. این سنگ ها غالباً فقط آمفیبول دار هستند ولی بعضی هم آمفیبول و هم پیروکسن دارند و بعضی نیز ظاهری توف مانند به خود گرفته اند. آمفیبول در این سنگ ها غالباً به طور کامل- یا تا حدی - اپاسیتی شده است، حداقل زاویه خاموشی این آمفیبول ها  $z = 25^\circ$   $n\gamma^z$  بوده و دارای پلئوکرونوئیسم سبز تا بی رنگ هستند. پیروکسن ها در صورت وجود از نوع منوکلینیک بوده و دو محوره مثبت با زاویه خاموشی ماکزیمم  $z = 40^\circ$   $n\gamma^z$  هستند. فلدسپات آلکالن غالباً آلتزه بوده و جنس آنها سانیدین یا آنورتوز می باشد (شکل ۱۵).

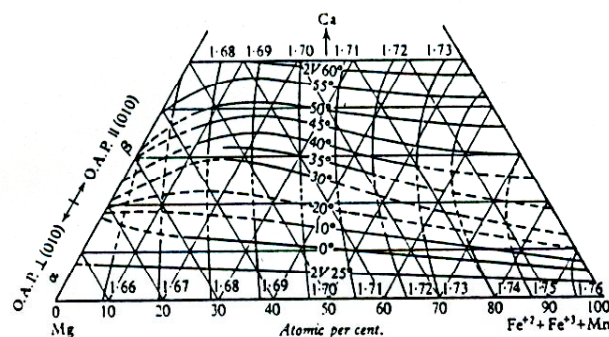
بررسی پتروگرافی سنگ های آذرین کرتاسه زیرین منطقه نشان می دهد که این سنگ ها خصوصیاتی را دارا هستند که با مالگماهای آلکالن همخوانی دارد (این مسئله توسعه خواص شیمیایی سنگ ها هم به اثبات رسیده است).

این خصوصیات عبارتند از:

۱) الیوین در تمام این سنگ ها با خمیره سنگ در حال تعادل شیمیایی کامل است و هیچ گونه حاشیه و اکنشی در آن دیده نمی شود.

۲) پیروکسن ها با توجه به زوایای محورهای نوری ( $2V$ ) و زاویه خاموشی از نوع کلینوپیروکسن غنی از کلسیوم هستند و پیژونیت و ارتوپیروکسن در سنگ وجود ندارد. اندازه مگیری زوایای  $2V$  کلینوپیروکسن ها نشان می دهد که گرچه تعیین دقیق نوع کلینوپیروکسن ها از این طریق میسر نیست، ولی همگی روی دیاگرام پلاروگرام می باشند. بنابراین با توجه به رأس Ca را اشغال می کنند (شکل ۱۶). محدوده های نزدیک به رأس Ca را اشغال می کنند (شکل ۱۶). بنابراین با توجه به ترکیب کلینوپیروکسن ها و نبود پیژونیت و ارتوپیروکسن، بازالت های منطقه باید از نوع آلکالن باشند.

شماره نمونه	زاویه ۲V
$h_4$	$56^\circ = \gamma V 2$
$I_{15}$	$60^\circ = \gamma V 2$
$I_9$	$2 V \gamma = 51^\circ$
$H_6$	$27^\circ = \gamma V 2$



الف

ب

شکل ۱۶ - الف) زوایای  $2V$  کلینوپیروکسن‌های موجود در سنگ‌های آذرین کرتاسه زیرین منطقه آبگرم  
ب) ارتباط بین زوایای  $2V$  کلینوپیروکسن‌ها با ترکیب شیمیایی آن‌ها در دیاگرام پلدروارت - هس [۱۹۵۱]

(۳) طبق گفته ناکامورا ۱۹۷۳ و داویتی ۱۹۷۶ (با اقتباس از دیوید شلی ۱۹۹۲) از اختصاصات اوژیت نیتان دار وجود ماکل ساعت شنی است پس کلینوپیروکسن‌های موجود در این سنگ‌ها باید از نوع اوژیت نیتان دار باشند.  
(۴) محاسبه نورم طبق روش CIPW (با اقتباس از ژوتو و موری ۱۹۹۸) نشان می‌دهد که الیوین و فلدسپاتوئید در اکثر آن‌ها موجود است (جدول ۲). این مسئله و همچنین فقیر بودن از لحاظ سیلیس (بین ۴۴/۱۵ تا ۵۳/۷۱ درصد) نشان می‌دهد که سنگ‌ها و مخصوصاً بازالت‌های کرتاسه زیرین منطقه آبگرم غالباً از لحاظ سیلیس تحت اشباع هستند.

### خواص ژئوشیمیایی سنگ‌های آذرین منطقه

و استفاده از آن‌ها به عنوان معرف‌های پتروژئنیک

هدف از بررسی خواص ژئوشیمیایی سنگ‌های آذرین منطقه تشخیص نوع سری ماگمایی و فهم ارتباط ژنتیکی بین انواع سنگ‌هاست. از آنجا که سه سری ماگمایی غالب وجود دارد (آلکالن، کالکوآلکالن و نولئیتی) و در هرکدام از این سری‌ها طیف پیوسته‌ای از انواع سنگ‌ها به چشم می‌خورد، بررسی خواص ژئوشیمیایی سنگ‌های آذرین منطقه آبگرم می‌تواند نوع سری ماگمایی و ارتباط ژنتیکی آن‌ها و تا حدی فرآیندهای درگیر در پتروژنیزم‌گاهی اولیه را مشخص کند، ولی از آنجا که داده‌های ما فقط به عناصر اصلی محدود می‌شود اطمینان کامل‌تر هنگامی حاصل می‌شود که داده‌های ایزوتوپی و عناصر کمیاب هم مکمل آنها شود.

در این راستا با استفاده از نمودارهای تغییرات شیمیایی از نوع هارکر مشخص شد که سنگ‌های آذرین کرتاسه زیرین منطقه آبگرم انطباق‌های نسبتاً خوبی را به نمایش می‌گذارند (شکل ۱۷) بنابراین، این مسئله می‌تواند دلیل خوبی برای هم منشأ بودن سنگ‌ها باشد. با وجود این اگرچه با مشاهده پیوستگی نقاط بر روی دیاگرام‌های هارکر می‌توان به ارتباط ژنتیکی آن‌ها پی برد، ولی تشخیص ترکیب دقیق ماگمایی مادر از این طریق (به

جهت اثرات حاصل از تجمع بلورین) میسر نیست. از سوی دیگر حتی توجیه چنین روندهای خطی نسبتاً خوب وقته می‌تواند به عنوان خط سقوط مایع<sup>۱</sup> تلقی گردد که هموژنیته ایزوتوپی تمام اعضای سنگ‌ها ثابت شده باشد. مشاهده نشدن شواهد پتروگرافی مربوط به فرآیندهای اختلاط ماگما و آلایش پوسته و همچنین پخش شدگی کم داده‌ها بر روی دیاگرام‌های هارکر، این ذهنیت را که «این سنگ‌ها تحت تأثیر فرآیندهای فوق به مقدار زیاد قرار نگرفته‌اند» در ما فوت بخشد، با وجود این تشخیص صحیح و اطمینان بخشی از میزان تأثیر این فرآیندها هنگامی مقدور است که اطلاعات ایزوتوپی به ویژه استرانسیوم و سرب در دست باشد.

**نمودار  $\text{FeO}+\text{Fe}_2\text{O}_3/\text{SiO}_2$ :** در این نمودار مجموع درصد وزنی اکسید آهن دو ظرفیتی و سه ظرفیتی در مقابل درصد وزنی سیلیس برد شده است (شکل ۱۷). همان‌گونه که مشاهده می‌شود اکسید آهن انطباق منفی‌ای را با اکسید سیلیسیوم نشان می‌دهد و همچنین شبی خط واصل بین نقاط در ترم‌های بازیک بیشتر و به سمت ترم‌های حد وسط کمتر می‌گردد، علت چنین شبی زیادی در سمت بازیک نمودار می‌تواند به واسطه تبلور و تقریق کانی‌های فرومیزین نظیر الیوین، پیروکسن، بیوتیت و مگنتیت باشد. مقایسه شواهد پتروگرافی و داده‌های حاصل از تجزیه شیمیایی نشان می‌دهد که از بین کانی‌های فرومیزین بیشترین تقریق را الیوین و کمترین تقریق را آمفیبول متحمل شده است، زیرا الیوین فقط در بازیک ترین ترم‌ها (نمونه‌های  $\text{I}_6$ ،  $\text{h}_6$  و  $\text{H}_4$ ) و آمفیبول در همه ترم‌ها از بازیک گرفته تا حد وسط متداول است.

**نمودار  $\text{MgO}/\text{SiO}_2$ :** اکسید منیزیم نیز همانند اکسید آهن انطباق منفی‌ای را با اکسید سیلیسیوم نشان می‌دهد (شکل ۱۷) روند نقاط به نحوی است که ابتدای نمودار (ترم‌های بازیک) شبی، بسیار تند است و بعد ملایم می‌شود. این با تقریق زیاد الیوین سازگاری بسیار خوبی دارد زیرا نمونه‌های  $\text{I}_6$ ،  $\text{h}_6$  و  $\text{H}_4$  که الیوین دار هستند در رأس واقع شده‌اند.

**نمودار  $\text{CaO}/\text{SiO}_2$ :** انطباق منفی ولی جزئی اکسید کلسیوم با اکسید سیلیسیوم یا به عبارتی کاهش مقدار  $\text{Ca}$  در طول تقریق به احتمال زیاد به تقریق کمتر کلینوپیروکسن (نسبت به الیوین) مربوط می‌شود (شکل ۱۷).

**نمودار  $\text{Al}_2\text{O}_3/\text{SiO}_2$ :** میزان اکسید آلومنیوم در طول تقریق تغییر زیادی را نشان نمی‌دهد (شکل ۱۷)، این مسئله با جدا شدن زیاد الیوین، مگنتیت و تا حدی پیروکسن از پلازیوکلاز و مایع همowanی دارد (به عبارت دیگر ظاهرآ تبلور بخشی پلازیوکلاز در تقریق نقش چندانی نداشته است و این الیوین، مگنتیت و تا حدی پیروکسن بوده اند که سبب تقریق ماگما شده‌اند).

**نمودار  $\text{Na}_2\text{O}+\text{K}_2\text{O}/\text{SiO}_2$ :** افزایش منظم آلکالی‌ها در طول تقریق به علت تبلور کانی‌های الیوین، مگنتیت و پیروکسن از ماگما و عدم شرکت این عناصر در این کانی‌ها و در نتیجه افزایش آن‌ها در ماگماهای باقیمانده است (شکل ۱۷).

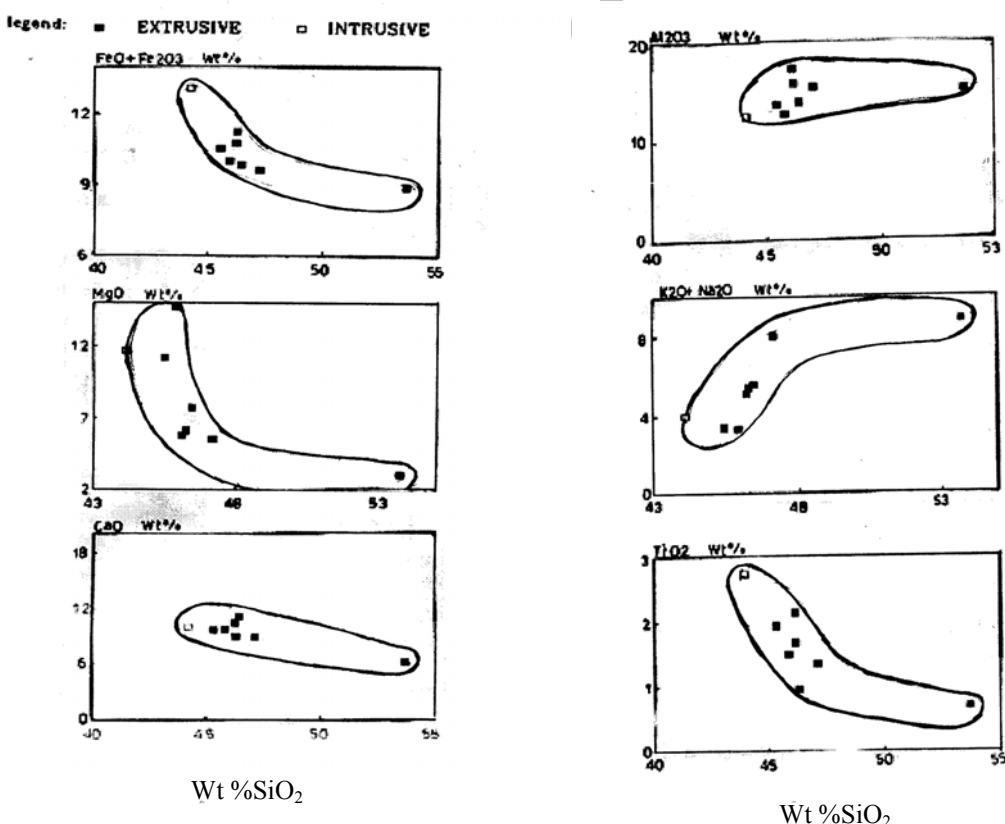
۱-The liquid line of descent

نمودار  $\text{TiO}_2 / \text{SiO}_2$  : اکسید تیتانیوم در طول تغییر کاهش مشخصی را نشان می‌دهد (شکل ۱۷). علت این امر شرکت این عنصر در کانی‌های زیر است: اسفن، ایلمینیت، تیتانومگنتیت و پپروکسن (وجود ماکلهای ساعت شنی نیز تأیید کننده این مدعاست).

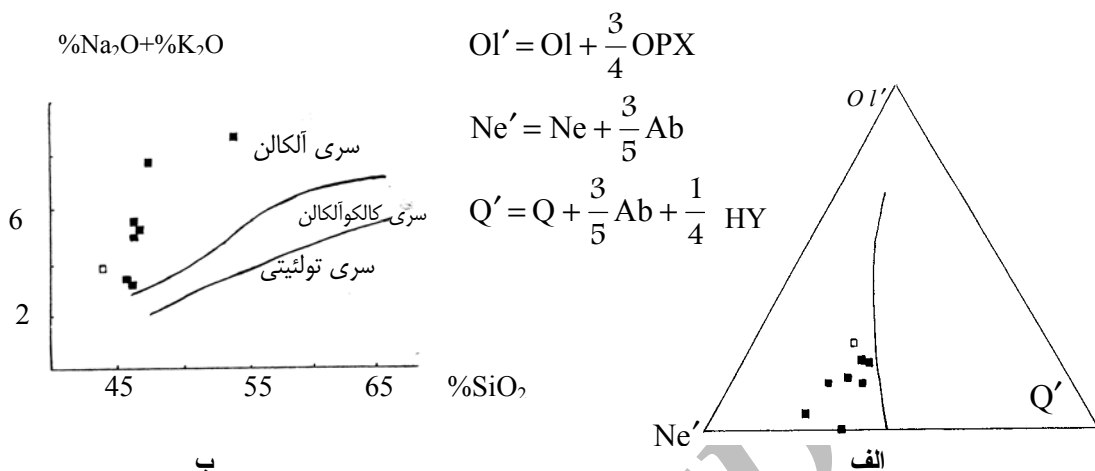
### خواص ژئوشیمیایی و نوع سری ماگمایی

سنگ‌های آذرین کرتاسه زیرین بر روی نمودارهای کونو (۱۹۶۸) و نورم یودر و تایلی (۱۹۶۲) در محدوده آکالن واقع می‌شوند (شکل ۱۸) و روی نمودار میدل موست (۱۹۹۱) در مرز بین محدوده‌های آکالنی و ترانس آکالنی قرار می‌گیرند (شکل ۱۹).

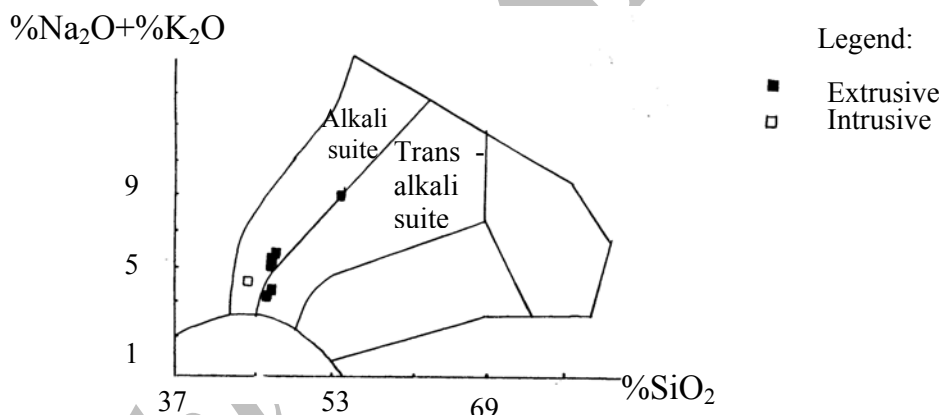
بر روی نمودار میدل موست (۱۹۷۵) (شکل ۲۰) سنگ‌های مزبور همگی در محدوده سدیک واقع می‌شوند پس این سنگ‌ها آکالن سدیک هستند.  
بردن داده‌های مربوط به سنگ‌های آذرین کرتاسه زیرین بر روی دیاگرام AFM نشان می‌دهد که این سنگ‌ها مربوط به سری تحولی نبوده و غالباً آکالن می‌باشند (شکل ۲۱).



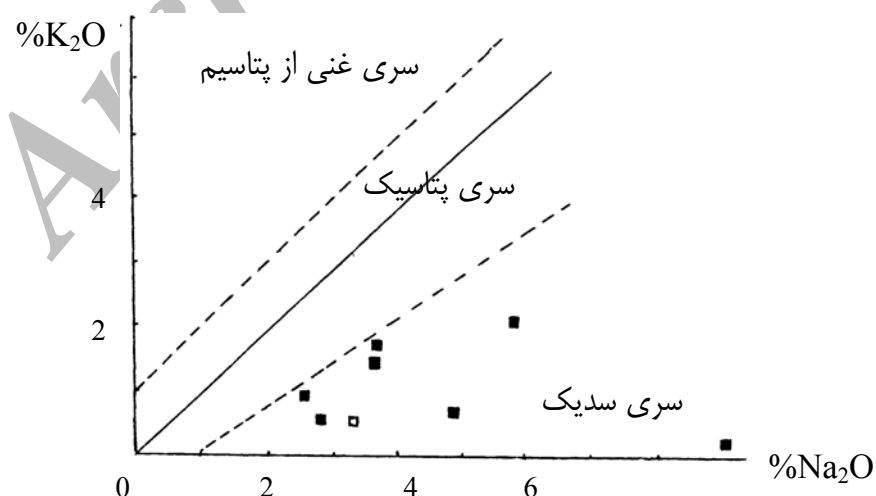
شکل ۱۷ - نمودارهای تغییرات درصد وزنی اکسید عناصر اصلی در مقابل درصد وزنی سیلیس برای سنگ‌های آذرین کرتاسه زیرین منطقه آبگرم



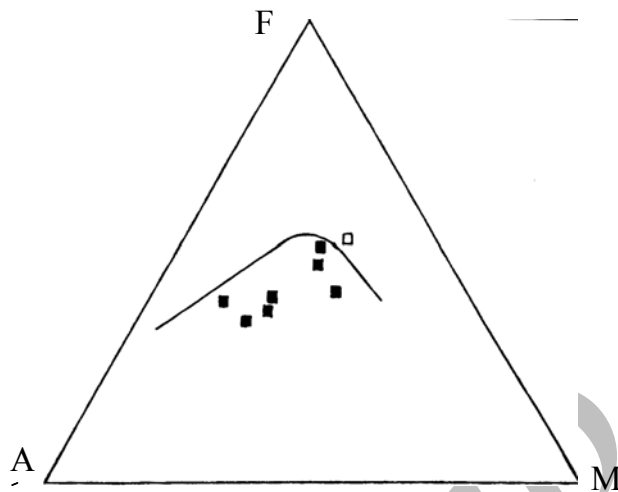
شکل ۱۸ - موقعیت سنگ‌های آذرین کرتاسه زیرین منطقه آبگرم بر روی دیاگرام، الف) کونو (۱۹۶۸)، ب) نورم یودرو تایلی (۱۹۶۲)



شکل ۱۹ - موقعیت سنگ‌های آذرین کرتاسه زیرین منطقه آبگرم بر روی نمودار میدل موست ۱۹۹۱.



شکل ۲۰ - تمایز سنگ‌های پتاسیک و سدیک از آذرین کرتاسه زیرین منطقه آبگرم با استفاده از نمودارهای میدل موست ۱۹۷۵ (اقتباس از ویلسون ۱۹۹۷)



شکل ۲۱- موقعیت سنگ‌های آذرین کرتاسه زیرین منطقه آبگرم روی دیاگرام AFM (ایروین و باراگار ۱۹۷۱، اقتباس از ۲۰۰۰).  
Best

### پتروژنر ماقماهای بازالتی منطقه

بررسی‌های پتروژنتیک سنگ‌های آذرین شامل توصیف مناطق منشأ ماقماها، شرایط حاکم بر ذوب بخشی و میزان تعدیلات بعدی بر روی ماقماهای اولیه نشأت گرفته از مانتو در طول حمل و ذخیره در اتاق‌های ماقمایی است. در مورد تعدیلات بعدی در قسمت‌های قبلی صحبت شد و نتیجه گرفته شد که ماقمایی کرتاسه زیرین در منطقه آبگرم آلکالن بوده و طیف پیوسته‌ای از سنگ‌های بازیک گرفته تا حد واسط را غالباً از طریق تفریق بلور - مایع در اتاق‌های ماقمایی و هنگام صعود به طرف سطح به وجود آورده است.

اما یکی از منشأهای بازالت‌ها را می‌توان، ذوب بخشی مستقیم مانتنو فوکانی با ترکیب لرزولیت دانست (شکل ۲۲)، با توجه به شکل ۵ بازالت‌های کرتاسه زیرین منطقه آبگرم غالباً در محدوده آلکالن قرار می‌گیرند، پس یک چنین نوع بازالت‌ای در صورتی که حاصل ذوب مانتو باشند بایستی (طبق شکل ۲۲-ب) از ذوب بخشی یک منشأ لرزولیتی غنی شده (enriched) حاوی فاز‌های زود ذوب مثل گارنت، اسپینل، پلازیوکلاز و...) با نرخ کمتر از ۲۰٪ در فشارهای ۱۰-۲۵ کیلو بار حاصل شده باشند. در این صورت بازالت‌های ما خصوصیات ماقمای اولیه را نشان خواهد داد (ویلسون ۱۹۹۷). از آنجا که بازالت‌های منطقه آبگرم خصوصیات یک ماقمای اولیه را نشان نمی‌دهند به عنوان مثال مقادیر  $\frac{\text{Mg}}{\text{Mg} + \text{Fe}_{2+}}$  کمتر از ۰/۶۸ داشته و نیز زینولیت‌های پریدوتیتی با منشأ مانتنوی در خود ندارند، باید متحمل تحولات و تعدیلات بعدی در اعمق کمتر در اتاق ماقمایی و یا در مسیر صعود به سمت سطح زمین گردیده باشند.

منشأ بازالت‌ها را به تفریق مذاب‌های پیکریتی نیز می‌توان نسبت داد. ماقماهای پیکریتی می‌توانند با ماقمای تکامل یافته در اتاق‌های ماقمایی کم عمق پوسته مخلوط و ماقماهای بازالتی را ایجاد کنند. یک چنین بازالت‌هایی

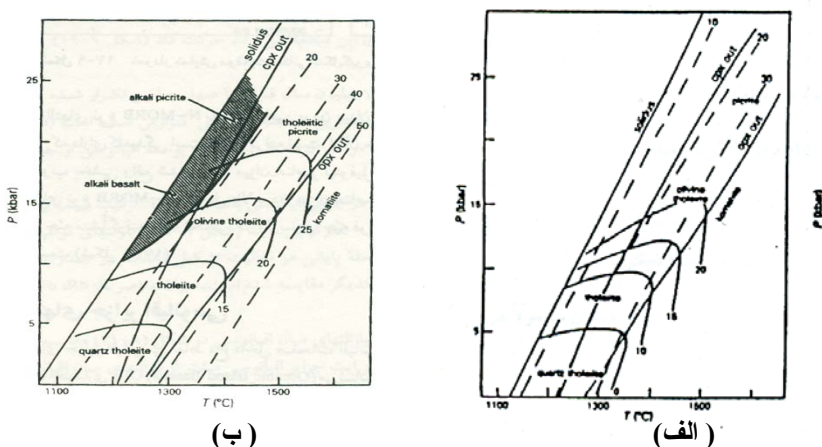
نیز خصوصیات یک ماکمای بازالتی اولیه را نشان نمی‌دهند.

### ارانه الگوی تکتونوماکمانی احتمالی در مورد کرتاسه زیرین در منطقه آبگرم

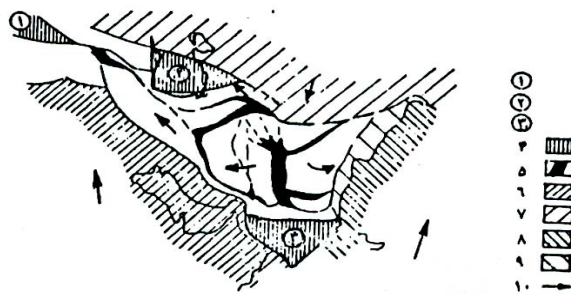
بازالت‌های آلکالن و مشتقاشان در وضعیت‌های تکتونیکی داخل پلیتی مثل جزایر اقیانوسی، کوه‌های دریایی<sup>۱</sup> ریفت‌های داخل قاره‌ای و پالنوریفت‌ها و حوضه‌های پشت فوس (قاره‌ای و جزایر فوسی) دیده می‌شوند (ویلسون ۱۹۹۷، میدل موست ۱۹۸۷، گیل ۱۹۸۱).

بنا به نظر اشتامپی ۱۹۷۸ و درکور و همکاران ۱۹۸۴ (با اقتباس از کتاب زمین‌شناسی ایران، علی درویش‌زاده ۱۳۸۰) در ایران در اوایل کرتاسه مقدمات تشکیل ریفت فراهم گردید و طی آپسین همزمان با پیشروی دریا گسترش کف اقیانوس در حد بین خرده قاره‌های ایران شروع شده این مرحله باز شدگی و گسترش چند میلیون سال بیشتر دوام نمی‌آورد (شکل ۲۳).

بنابراین ماگماتیسم کرتاسه زیرین در منطقه آبگرم نیز می‌تواند حاصل از همین ریفت‌ها بوده و گویای مرز بین خرده قاره‌ها در این زمان باشد) در شکل ۲۳ امتداد این ریفت‌ها در جهت خطوط غیرمنتظمه ظاهراً از منطقه بررسی شده می‌گذرد). با وجود این به سبب نبود اطلاعات کافی هم از لاحظ کیفی (داده‌های مربوط به عنصر کمیاب و ایزوتوپ‌ها) و هم کمی (حجم اطلاعات) و هم بررسی نشدن ژئوشیمیابی سنگ‌های کرتاسه زیرین در سایر مناطق ما فعلًا در ارائه یک مدل (به جای دو مدل) برای ماگماتیسم آلکالن کرتاسه زیرین در این منطقه و مربوط دانستن آن به یک پدیده تکتونیکی مثل فرورانش پوسته اقیانوسی نئوتیس به زیر ایران مرکزی و یا ماگماتیسم حاصل از ایجاد ریفت‌های قاره‌ای (به سبب تشکیل خرده قاره‌ها) ناتوان هستیم.



شکل ۲۲ - تعیین خصوصیات مذاب‌های بخشی حاصل از یک منشاً مانتنوی با ترکیب لرزولیت از طریق آزمایش و تجربه فرق شکل (الف) و (ب) در ترکیب لرزولیت می‌باشد . در شکل (الف) لرزولیت مانتو تهی شده (از فازهای زود ذوب) و در شکل (ب) غنی شده است . همانگونه که مشاهده می‌شود ماکمای بازالتی آلکالن فقط از لرزولیت غنی شده قابل تشکیل است (اقتباس از جاکس و گرین ۱۹۸۰ برگرفته از ویلسون ۱۹۹۷ و ژوتو و موری ۱۹۹۸ )



۱) دریای سیاه ۲) دریای خزر ۳) دریای خوار ۴) مناطق اقیانوسی بالمسانده ۵) ریفت‌های کرتاسه ۶) پلانفرم نوران ۷) پلانفرم هندوستان ۸) جهت جایه‌جایی های دربلوک‌های مختلف ۹) سلسله کوه‌های حاشیه هر سی سی پلانفرم هندوستان ۱۰) جهت جایه‌جایی های دربلوک‌های مختلف.

شکل ۲۳- شکلی از کلیه ریفت‌های کرتاسه در محدوده صفحه ایران - افغانستان (اشتاپلی ۱۹۷۸ پرگرفته از کتاب زمین‌شناسی ایران علی درویش زاده ۱۳۸۰) امتداد این ریفت‌ها در چهت خطوط غیر متمدد ظاهراً از منطقه مورد مطالعه می‌گذرد.

## نتایج

- سنگ‌های آذرین کرتاسه زیرین از نوع آلکالن بوده و یک دامنه پیوسته از بازالت آلکالن تا تراکی بازالت را (که گویای تقریق آن‌ها از یک ماگمای والد مشترک است) نشان می‌دهند.
- جدا شدن الیوین، پیروکسن و مکنتیت سبب تقریق ماگمای مذکور شده است.
- تزریق نهایی ته مانده مخزن ماگمایی بدرون سنگ‌های ساب ولکانیک از نوع گابرو را به وجود آورده است.
- با توجه به زوایای ۲۷ کلینو پیروکسن‌ها (نوع آن‌ها باید عمدتاً از جنس اوژیت یا اعضاي غنی از کلسیوم باشد)، تعادل شیمیایی کامل الیوین با خمیره در سنگ و همچنین وجود الیوین و فلدسپاتوئید در نورم این سنگ‌ها همه تأیید کننده تعلق این سنگ‌ها به سری آلکالن است.
- از لحاظ پتروژنتیک بازالت‌های آلکالن کرتاسه زیرین باید از یک مانتوی لرزولیتی غنی شده حاصل شده باشد که طی صعود و خیره در پیوسته متحمل تحولات دیگری شده است و آن را از صورت یک ماگمای اوایله خارج کرده است.
- با توجه به وفور ریفت‌های موجود بین خرده قاره‌ها در ایران در زمان کرتاسه زیرین احتمالاً ماگماتیسم آلکالن منطقه آبگرم متعلق به همین ریفت‌ها یا ماگماتیسم حاصل از فرورانش پیوسته اقیانوسی موجود در اقیانوس بین این خرده قاره‌ها در قسمت پشت قوس بوده است.

## منابع

- ۱- آدابی، م. ح، کریم پور، م. ح، نامگذاری و طبقه بندی جامع سنگ‌های رسوبی، آذرین و نگرگونی، انتشارات دانشگاه فردوسی مشهد(۱۳۸۱) ۲۷۲ ص.
- ۲- بلورچی، م. ح، پژوهش زمین‌شناسی چهارگوش کبودر آهنگ مقیاس ۲۵۰۰۰۰ : ۱ و نقشه زمین‌شناسی چهارگوش کبودر آهنگ شماره D5 (۱۳۵۸).
- ۳- درویش زاده، ع.، زمین‌شناسی ایران، انتشارات امیر کبیر(۱۳۸۰) ۹۰۱ ص
- ۴- درویش زاده، ع ، زمین‌شناسی پوسته اقیانوسی، پترولوزی و دینامیک درونی مؤلفان تیری ژوتو و رنه موری ۱۹۹۸، دانشگاه تهران(۱۳۸۱) ۵۶۹ ص.
- ۵- درویش زاده، ع و آسیابان‌ها، ع ، ترجمه ماگماها و سنگ‌های ماگماها و سنگ‌های آتشفسانی شمال ابهر و ارتباط ولکانیسم منطقه با میدل موست، دانشگاه تهران (۱۳۷۰) ۵۱۵ ص.
- ۶- زارعی سهامیه، ر، پتروگرافی، پترولوزی و ژئوشیمی سنگ‌های آتشفسانی علم دانشگاه تربیت معلم تهران (۱۳۷۰).
- ۷- سپاهی گرو، ع.ا، رده بندی و نامگذاری سنگ‌های (آذرین، نگرگونی و رسوبی) انتشارات نور علم (۱۳۷۹) ۱۷۵ ص.
- ۸- معین وزیری، ح، دیباچه ای بر ماگماتیسم در ایران، دانشگاه تربیت معلم تهران (۱۳۷۵) ۴۴۰ ص.
- ۹- معین وزیری، ح، احمدی، ع ، پتروگرافی و پترولوزی سنگ‌های آذرین، دانشگاه تربیت معلم تهران (۱۳۸۰) .
- ۱۰- ولی زاده، م. و، پترولوزی تجربی و تکتونیک کلی(کلیات) جلد اول (۱۳۷۱)، انتشارات دانشگاه تهران
11. M.G Best and H.Eric Christiansen, *Igneous and metamorphic Petrology*, Blackwell Science(2000).
12. J.D.Cox, Bell and R.G. Pankhurst , *The Interpretation of Igneous Rocks*, London , Allen and Unwin(1979).
13. W.A. Deer, R.A. Howie, and J. Zussman, *An Introduction to the Rock Forming Minerals*, 17th Imp, Longman Scientific and Tech (1991).
14. A.Hall, *Igneous Petrology*, Longman Scientific and Tech., UK(1996).
15. M.J. LeBas, R.LeMaitre, A. Streckiesen, and B. Zanettin, “A chemical classification of Volcanic Rocks Based on the Total Alkali–Silica diagram”, *Journal of petrology*27(1986) 745–50.

16. E.A.K Middlemost, "A Contribution to the Nomenclature and Classification of Volcanic Rocks", *Geol. Mag.* .117 (1980) 51 – 7.
- 17.D.Shelly, Igneous and Metamorphic Rocks under the Microscope, Chapman and Hall(1991)445.
18. M.Wilson, Igneous petrogenesis, Unwin Hyman (1997) 466.

Archive of SID